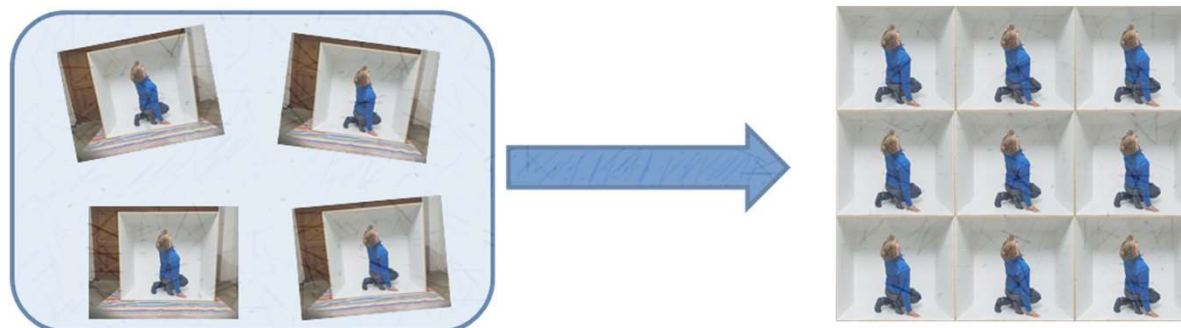


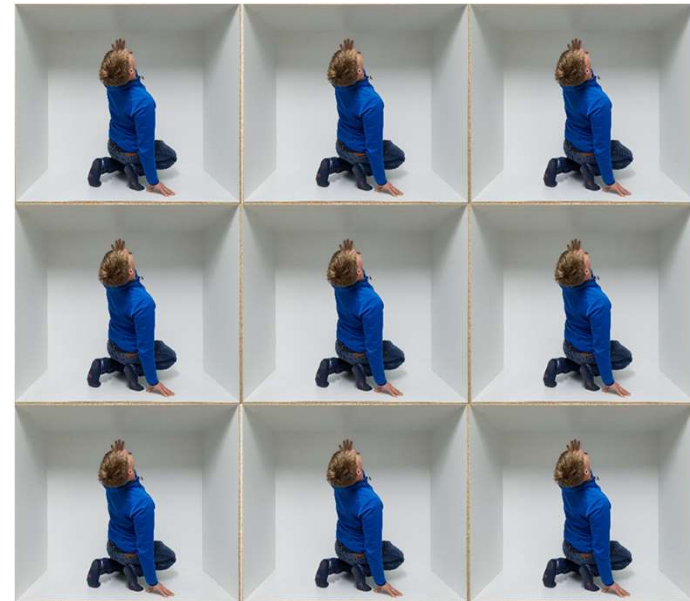
Digitale Bildverarbeitung 1

Einführung in die digitale Bildverarbeitung
für Informatikstudierende im Bachelor

Vorlesung: Michael Möller – michael.moeller@uni-siegen.de
Übungen: Hannah Dröge – hannah.droege@uni-siegen.de



Ziel der Vorlesung: Wie kann ich automatisch einen Setzkasten zusammenbauen?



- Was ist ein Bild?
 - Wie wird die 3d Geometrie der Welt im Bild dargestellt?
 - Wie wende ich eine Transformation auf mein Bild an? (Interpolation)
 - Bild schärfen, entrauschen oder Kannten erkennen? (Filter, Fourier Transformation, DCT)
 - Wie werden Farben aufgenommen und reproduziert?
 - Wie kann man Bilder automatisch Clustern und Segmentieren? (thresholding, k-means, morphologische Op.)
- >> Setzkasten (mit Python) zusammenbauen

Was sind digitale Bilder?



Diskret: Tensor (3 Matrizen)

$$f \in \mathbb{R}^{3 \times n_x \times n_y}$$

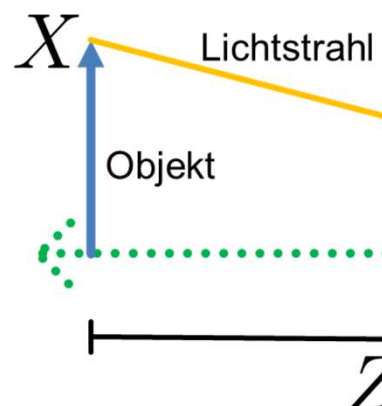
Kontinuierlich

$$f : \Omega \subset \mathbb{R}^2 \rightarrow \mathbb{R}^3$$

Wieso ist das Rechteck kein Rechteck?

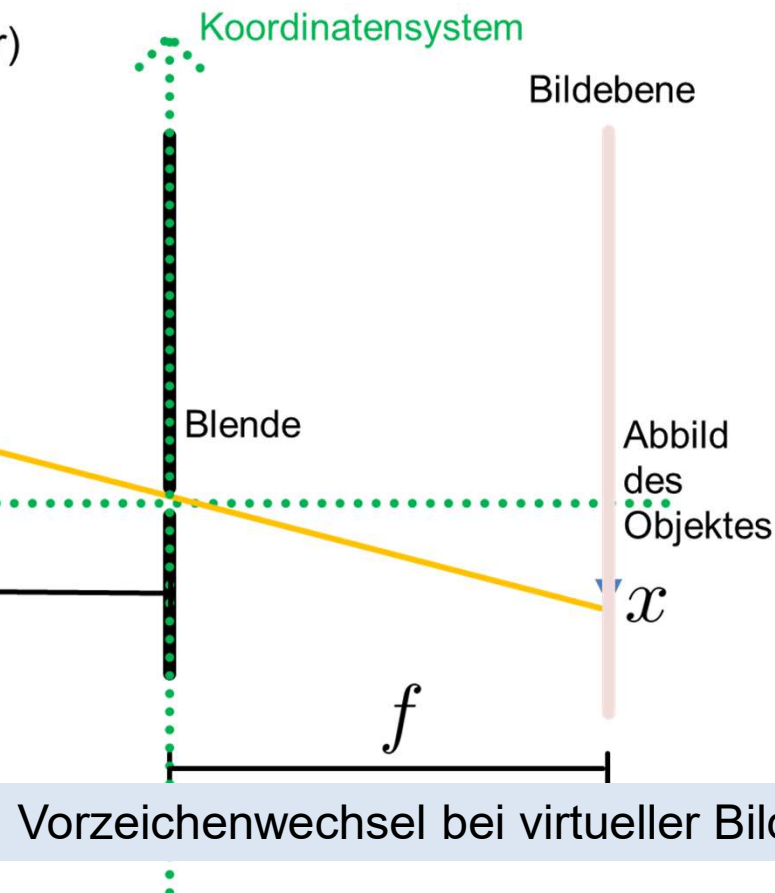


Die **Lochkamera** (etwas abstrakter)

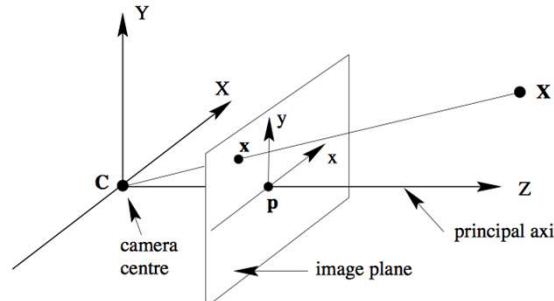


Die zwei ähnlichen Dreiecke liefern

$$\frac{X}{Z} = \frac{-x}{f} \Rightarrow x = -\frac{f}{Z}X$$



Vorzeichenwechsel bei virtueller Bildebene!



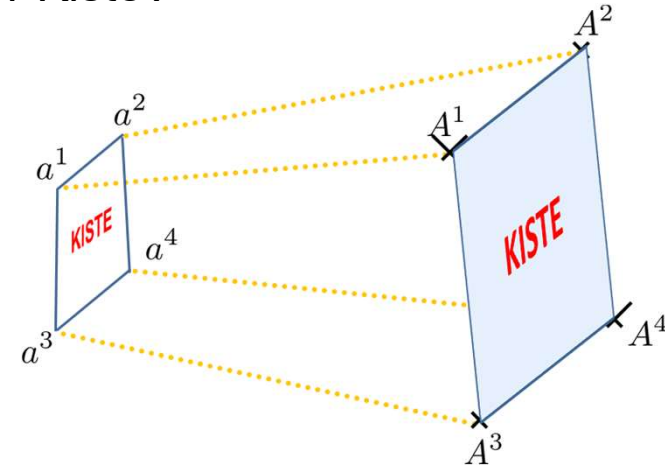
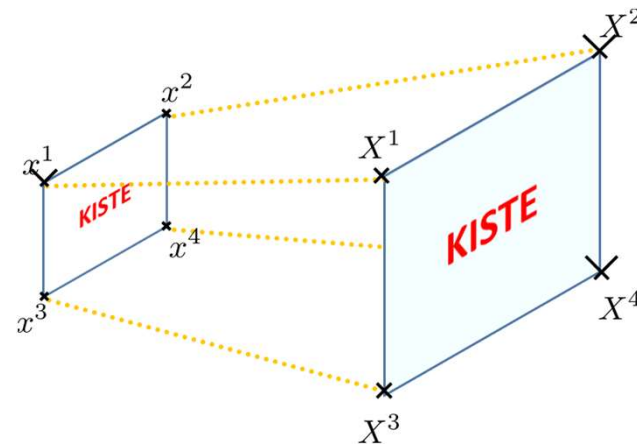
Entlang jeder Koordinate ist die Geometrie exakt die gleiche wie im zuvor betrachteten Fall!

$$x_1 = \frac{f}{Z} X_1 \quad x_2 = \frac{f}{Z} X_2$$

Der Einfachheit halber nehmen wir $f = 1$ an. Gegeben x heißt dies es gibt ein λ mit $\lambda x = X$

Homogene Koordinaten

Aber wie hilft uns dies für das Begradien der Kiste?



Wir stellen uns vor die Kamera ist fix. Dann entstehen die Koordinaten A^i durch Rotation und Translation der gewünschten Koordinaten X^i :

$$X^i = RA^i + \vec{t} \quad \text{für } i \in \{1, 2, 3, 4\}$$

Die Punkte A^i und X^i liegen jeweils in einer Ebene im Raum.

Rechnung zeigt: Es gibt eine Matrix H , sodass für jeden Punkt folgende Gleichung gilt:

$$x^i = \frac{\lambda_a^i}{\lambda_x^i} Ha^i$$

Wir können wir dies nutzen um eine Gleichung für H zu bekommen?

$$0 = B^i \vec{H} \quad \text{mit} \quad B^i = (a_1^i \hat{x}^i \quad a_2^i \hat{x}^i \quad a_3^i \hat{x}^i)$$

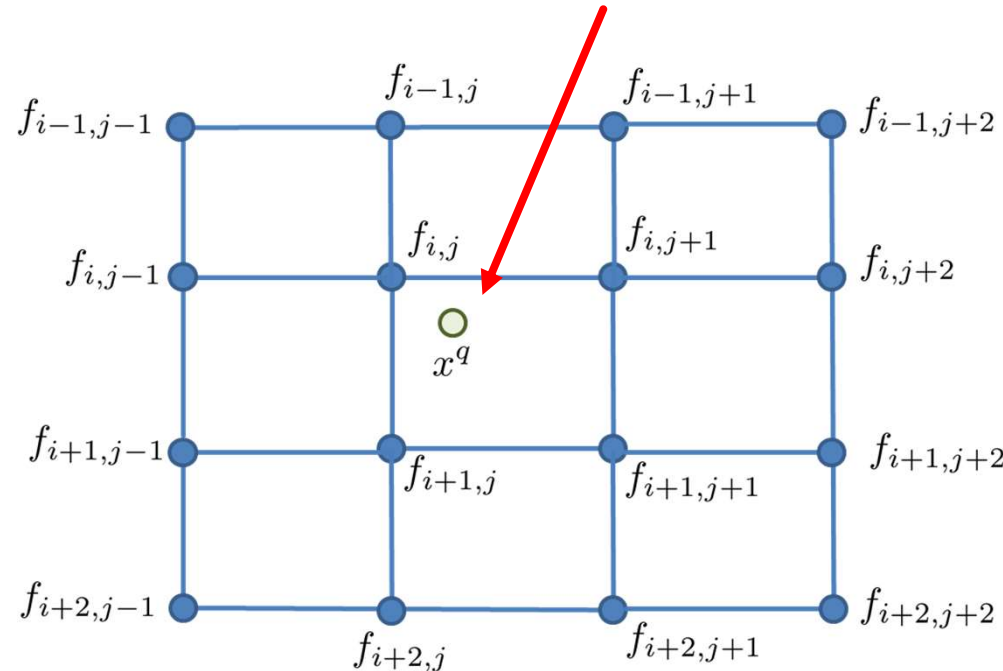
Man kann aus den Koordinaten eine Matrix B konstruieren, sodass $0 = B\vec{H}$
Lösung für \vec{H} : Eigenvektor zum Eigenwert 0 von $B^T B$

Projektive Transformation

$$\begin{pmatrix} x_1 \\ x_2 \end{pmatrix} = \frac{1}{H_{31}a_1 + H_{32}a_2 + H_{33}} \begin{pmatrix} H_{11} & H_{12} & H_{13} \\ H_{21} & H_{22} & H_{23} \end{pmatrix} \begin{pmatrix} a_1 \\ a_2 \\ 1 \end{pmatrix} \quad \text{oder} \quad \mathbf{x} = \frac{1}{(H\mathbf{a})_3} H\mathbf{a}$$

Die Matrix H kann aus 4 Punktkorrespondenzen durch Lösung eines Eigenwertproblems bestimmt werden.

Was ist eine gute Schätzung für den Wert eines Bildpunktes an dieser Stelle?



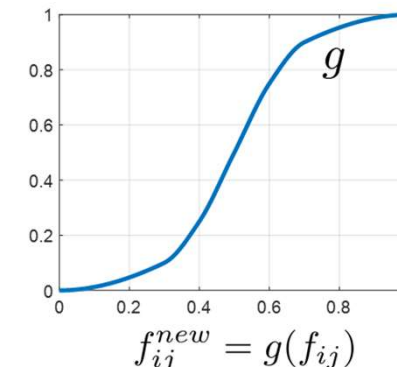
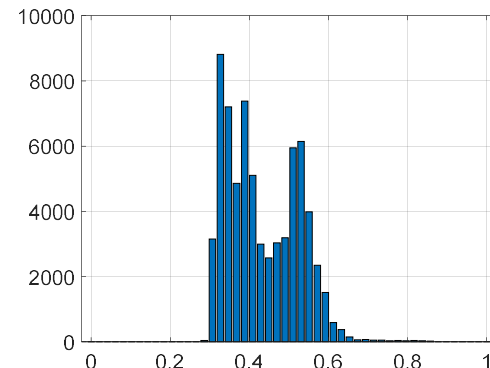
Kennengelernt:

- Bilineare Interpolation
- Bikubische Interpolation

Prinzip: Zwei eindimensionale Probleme.

Erst in x-Richtung, dann in y-Richtung
(oder umgekehrt)

Punktweise



Lokal, linear: Korrelations- oder Faltungsfilter

$$g(f_{i,j}) = \sum \left(\begin{array}{|c|c|c|} \hline f_{i-1,j-1} & f_{i-1,j} & f_{i-1,j+1} \\ \hline f_{i,j-1} & f_{i,j} & f_{i,j+1} \\ \hline f_{i+1,j-1} & f_{i+1,j} & f_{i+1,j+1} \\ \hline \end{array} \right) \bullet \left(\begin{array}{|c|c|c|} \hline k_{i-1,j-1} & k_{i-1,j} & k_{i-1,j+1} \\ \hline k_{i,j-1} & k_{i,j} & k_{i,j+1} \\ \hline k_{i+1,j-1} & k_{i+1,j} & k_{i+1,j+1} \\ \hline \end{array} \right)$$

The equation illustrates a local linear filter (convolution) operation. The input image f is represented by a 3x3 neighborhood of pixels $f_{i-1,j-1}$ to $f_{i+1,j+1}$. The kernel k is represented by a 3x3 neighborhood of weights $k_{i-1,j-1}$ to $k_{i+1,j+1}$. The result is the weighted sum of the input pixels, where the weights are determined by the kernel values. A central dot between the two matrices indicates the element-wise multiplication (element-wise product) used in the convolution operation.

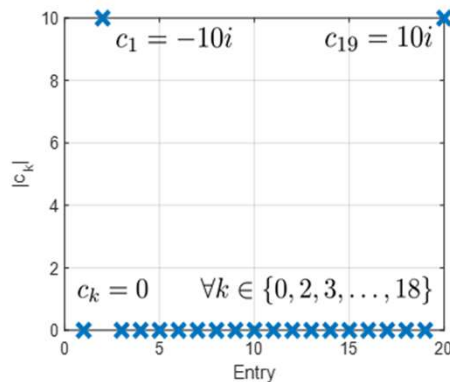
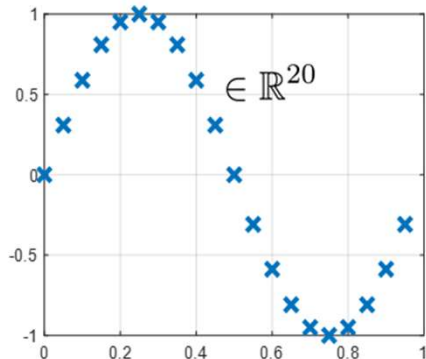


Fouriertrafo: Koeffizientenvektor $\vec{c} \in \mathbb{C}^n$ zur Darstellung eines Signals $\vec{f} \in \mathbb{C}^n$ als

Linearkombination von $\frac{1}{n} \vec{z}^k \in \mathbb{C}^n$ mit $z_l^k = \exp\left(2\pi i \frac{lk}{n}\right)$

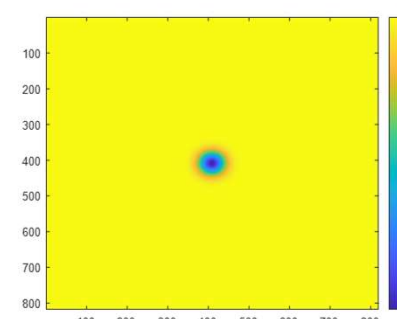
$$c_k = \sum_{l=0}^{n-1} f_l \exp\left(-2\pi i \frac{lk}{n}\right) \quad \text{Fourier-}\text{transformation}$$

$$\vec{f} = \frac{1}{n} \sum_{k=0}^{n-1} c_k \vec{z}^k \quad \text{Inverse Fouriertransformation}$$



Faltungssatz

$$f * g = \mathcal{F}^{-1} (\mathcal{F}(f) \odot \mathcal{F}(g))$$



Für Bilder: Entlang jeder Dimension einzeln!

Cosinustrafo: Koeffizientenvektor $\vec{c} \in \mathbb{R}^n$ zur Darstellung eines Signals $\vec{f} \in \mathbb{R}^n$ als

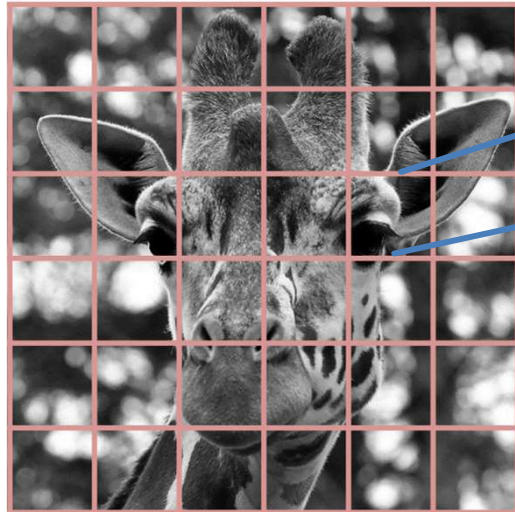
Linearkombination von $\vec{z}^k \in \mathbb{R}^n$ mit $z_l^0 = \frac{1}{\sqrt{n}}$ und $z_l^k = \sqrt{\frac{2}{n}} \cos(\pi k x_l)$
 für $x_l = \frac{(l + \frac{1}{2})}{n}$, $l \in \{0, 1, \dots, n - 1\}$

$$c_k = \langle f, z^k \rangle = \begin{cases} \frac{1}{\sqrt{n}} \sum_{l=0}^{n-1} f_l & \text{falls } k = 0 \\ \sqrt{\frac{2}{n}} \sum_{l=0}^{n-1} f_l \cos\left(\pi k \frac{l + \frac{1}{2}}{n}\right) & \text{sonst.} \end{cases} \quad \text{DCT}$$

$$f_l = \frac{1}{\sqrt{n}} c_0 + \sqrt{\frac{2}{n}} \sum_{k=1}^{n-1} c_k \cos\left(\pi k \frac{l + \frac{1}{2}}{n}\right) \quad \text{Inverse DCT}$$

Für Bilder: Entlang jeder Dimension einzeln!

Anwendung für Bilder, z.B. Kompression (JPG) oder auch Entrauschen, durch Darstellung kleiner Patches mittels DCT und Manipulation der Koeffizienten

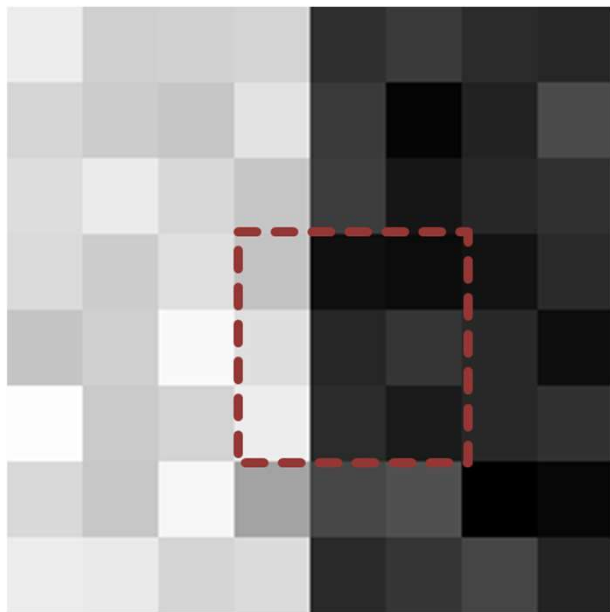
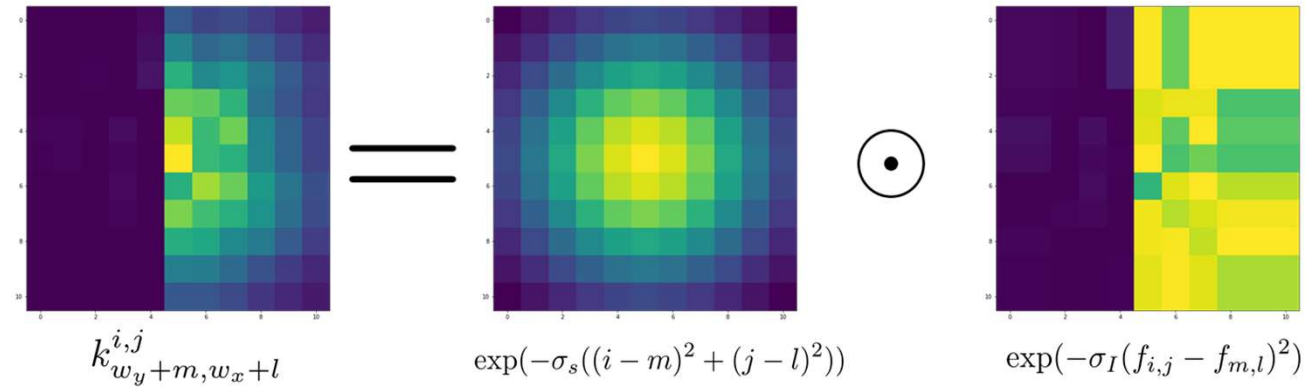


$$\begin{aligned}
 &= c_{0,0} \begin{array}{|c|c|c|c|}\hline &&&\\ \hline &&&\\ \hline &&&\\ \hline &&&\\ \hline \end{array} + c_{0,1} \begin{array}{|c|c|c|c|}\hline &&&\\ \hline &&&\\ \hline &&&\\ \hline &&&\\ \hline \end{array} + c_{0,2} \begin{array}{|c|c|c|c|}\hline &&&\\ \hline &&&\\ \hline &&&\\ \hline &&&\\ \hline \end{array} \\
 &+ c_{1,0} \begin{array}{|c|c|c|c|}\hline &&&\\ \hline &&&\\ \hline &&&\\ \hline &&&\\ \hline \end{array} + c_{1,1} \begin{array}{|c|c|c|c|}\hline &&&\\ \hline &&&\\ \hline &&&\\ \hline &&&\\ \hline \end{array} + c_{1,2} \begin{array}{|c|c|c|c|}\hline &&&\\ \hline &&&\\ \hline &&&\\ \hline &&&\\ \hline \end{array} \\
 &+ c_{2,0} \begin{array}{|c|c|c|c|}\hline &&&\\ \hline &&&\\ \hline &&&\\ \hline &&&\\ \hline \end{array} + c_{2,1} \begin{array}{|c|c|c|c|}\hline &&&\\ \hline &&&\\ \hline &&&\\ \hline &&&\\ \hline \end{array} + c_{2,2} \begin{array}{|c|c|c|c|}\hline &&&\\ \hline &&&\\ \hline &&&\\ \hline &&&\\ \hline \end{array}
 \end{aligned}$$

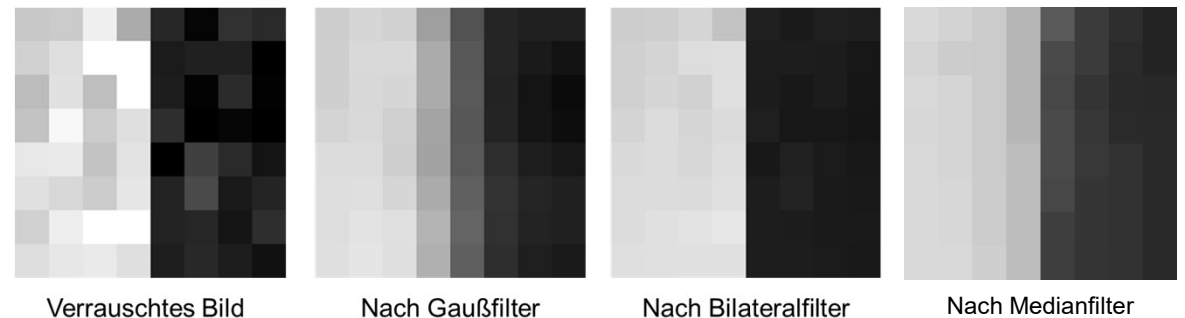
Thresholden
führt zu
Entrauschen

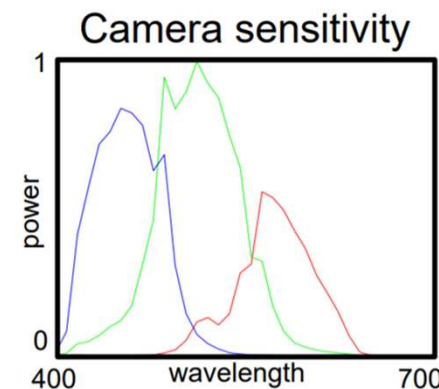
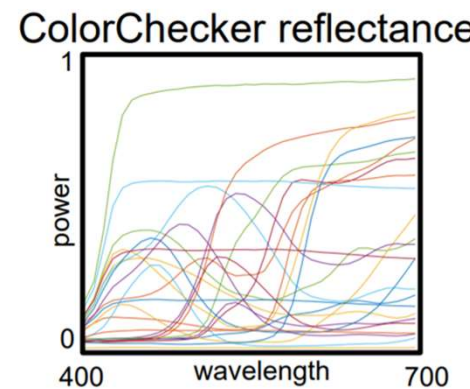
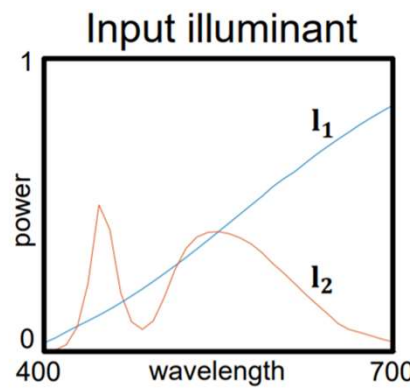
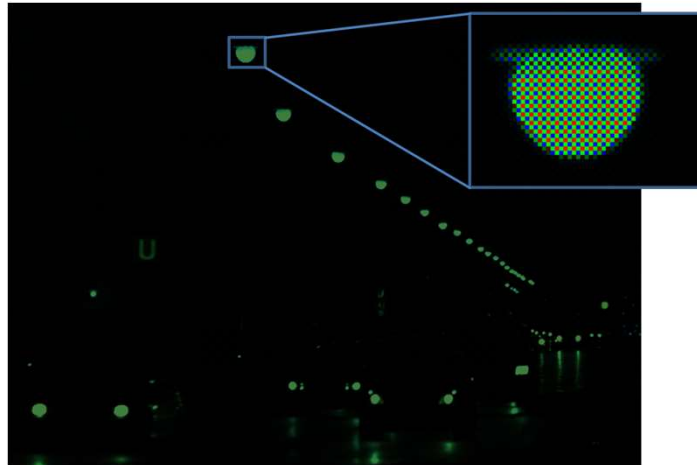


Bilateralfilter:
Gaußfilter, der lokal basierend auf der Ähnlichkeit jedes Pixels zu seinen Nachbarn gewichtet wird.



Medianfilter: Ersetze den aktuellen Pixelwert durch den Median aller Werte in einer Umgebung vordefinierter Größe um den aktuellen Pixel





From: Karaimer and Brown, "Improving Color Reproduction Accuracy on Cameras", 2018

$$X \propto \int I_{illu}(\lambda) I_{reflect}(\lambda) I_{cam}^R(\lambda) d\lambda$$

$$Y \propto \int I_{illu}(\lambda) I_{reflect}(\lambda) I_{cam}^G(\lambda) d\lambda$$

$$Z \propto \int I_{illu}(\lambda) I_{reflect}(\lambda) I_{cam}^B(\lambda) d\lambda$$

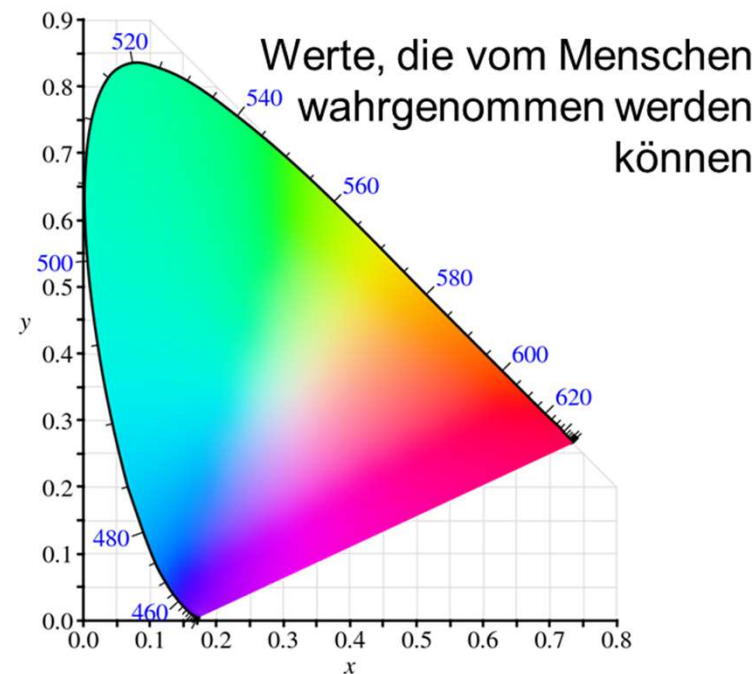
Farben

Intensität
„herausdividieren“:

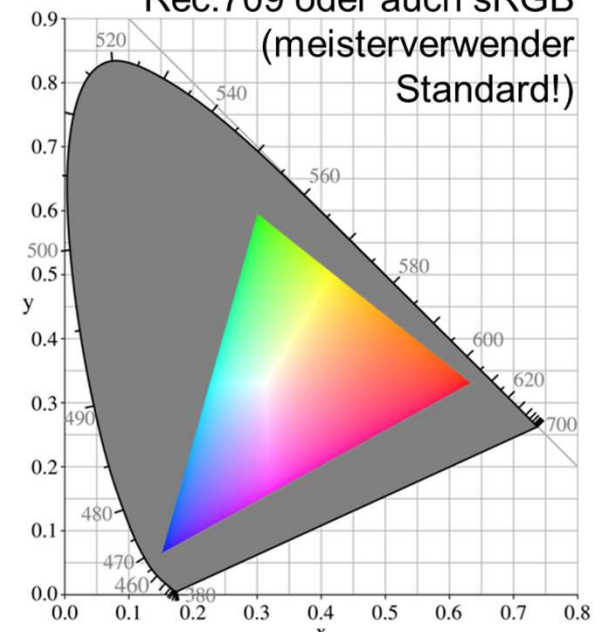
$$x = \frac{X}{X + Y + Z}$$

$$y = \frac{Y}{X + Y + Z}$$

$$z = \frac{Z}{X + Y + Z}$$



„Darstellbare Farben“, bzw.
Rec.709 oder auch sRGB
(meisterverwender Standard!)

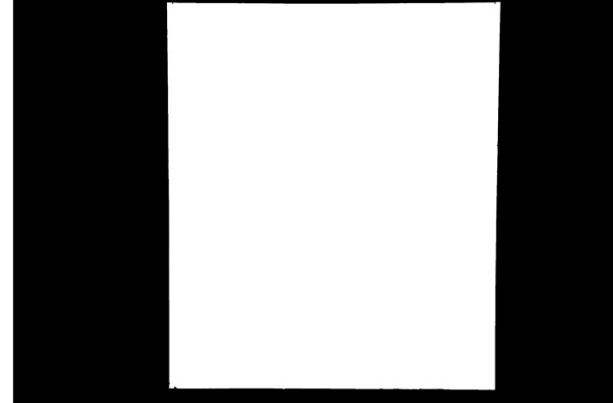


From <https://en.wikipedia.org/wiki/Gamut>

Für Algorithmen kann man oft besser in anderen Farbräumen als RGB arbeiten!

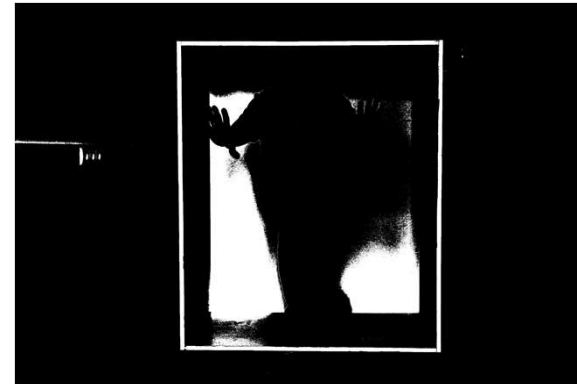
$$\begin{pmatrix} v \\ c_1 \\ c_2 \end{pmatrix} = \begin{pmatrix} 1/\sqrt{3} & 1/\sqrt{3} & 1/\sqrt{3} \\ 1/\sqrt{2} & 0 & -1/\sqrt{2} \\ 1/\sqrt{6} & -2/\sqrt{6} & 1/\sqrt{6} \end{pmatrix} \cdot \begin{pmatrix} R \\ G \\ B \end{pmatrix}$$

Segmentierung



Thresholding:

$$m_{i,j} = \begin{cases} 1 & \text{falls } f_{i,j} > t \\ 0 & \text{sonst.} \end{cases}$$



Wobei t der Threshold ist

und f ein Bild welches aus dem Original durch eine geeignete Transformation gewonnen wurde, z.B. Grauwertbild, Farbwinkel, etc.

Dilatation

Formale Definition:

Für $G \subset \mathbb{Z}^2$ und $S \subset \mathbb{Z}^2$ ist die Dilatation von G mit S gegeben durch

$$G \oplus S := \{x \mid G \cap S_x \neq \emptyset\}$$

wobei

$$S_x := \{x + y \mid y \in S\}$$

die Verschiebung von S nach x beschreibt.

Weiß (=1) genau dann wenn Strukturelement zentriert am aktuellen Pixel noch irgendwo auf einen anderen weißen Pixel trifft

Erosion

Formale Definition:

Für $G \subset \mathbb{Z}^2$ und $S \subset \mathbb{Z}^2$ ist die Erosion von G mit S gegeben durch

$$G \ominus S := \{x \mid S_x \subset G\}$$

wobei

$$S_x := \{x + y \mid y \in S\}$$

die Verschiebung von S nach x beschreibt.

Weiß (=1) genau dann wenn Strukturelement zentriert am aktuellen Pixel überall auf weiße Pixel trifft

Erosion der Dilatation: **morphological Closing**

Dilatation der Erosion: **morphological Opening**

- Füllen von Löchern in der Segmentierung
- Auswählen der größten Wegzusammenhangskomponente

Clustering

Automatische Aufteilung in Regionen und Clustercenter

Schritt 1: Gegeben $c^l \in \mathbb{R}^3$, $l \in \{1, \dots, k\}$ bestimme die Segmentierung

$m \in \mathbb{R}^{n_y \times n_x \times k}$ des Bildes $f \in \mathbb{R}^{n_y \times n_x \times 3}$ mittels

$$m_{i,j,:} = e_l \quad \text{falls} \quad \|f_{i,j,:} - c^l\| \leq \|f_{i,j,:} - c^t\| \quad \forall t \in \{1, \dots, k\}$$

↑
l-te Einheitsvektor

Schritt 2: Gegeben eine Segmentierung $m \in \mathbb{R}^{n_y \times n_x \times k}$ des Bildes $f \in \mathbb{R}^{n_y \times n_x \times 3}$

Bestimme geeignete Farben für jedes Segment, indem die Durchschnittsfarben vom jeweiligen Segment gebildet wird.

$$c^l = \frac{1}{\sum_{i=0}^{n_y-1} \sum_{j=0}^{n_x-1} m_{i,j,l}} \sum_{i=0}^{n_y-1} \sum_{j=0}^{n_x-1} f_{i,j,:} m_{i,j,l}$$

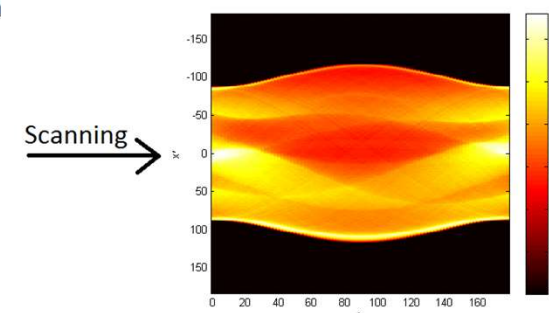
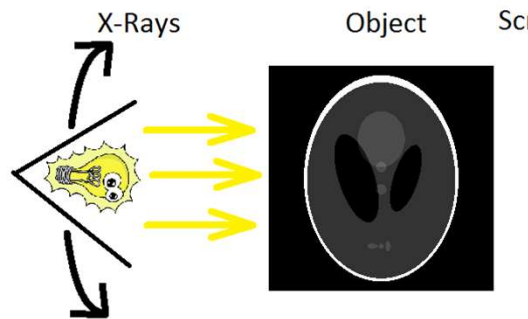


Advanced Topics

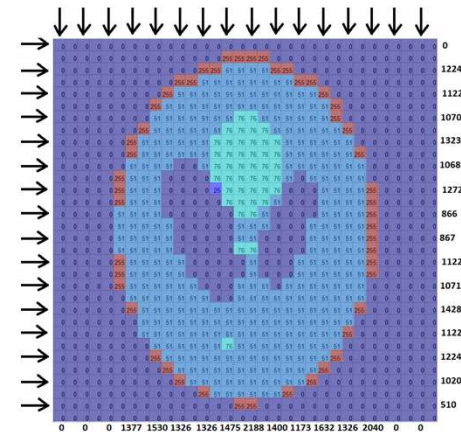
$$E(u) = \frac{1}{2} \|A(u) - f\|^2 + R(u)$$

Wie gut erklärt unsere aktuelle Schätzung u die Daten f ?

Ist unsere aktuelle Schätzung „regulär“/rauschofrei genug?



Berechne ein $\hat{u} \in \arg \min_u E(u)$ als Lösung!



Maschinelles Lernen

Eingabe- bzw. Trainingsdaten x_i

„Netzwerk“
 $N(x; \theta)$

Gewünschte Ausgaben y_i

Training:
$$\min_{\theta} \sum_{\text{Trainingsbeispiele } (x_i, y_i)} \text{Loss}(N(x_i; \theta), y_i)$$